

# Factorisation par fractions continues

Margot Funk, Antoine Hugounet

Février 2021

# Table des matières

<b>Introduction</b>	<b>2</b>
<b>1 Théorie</b>	<b>3</b>
1.1 Fractions continues . . . . .	3
1.1.1 Intuition . . . . .	3
1.1.2 Définition, réduites . . . . .	5
1.1.3 Irrationnels quadratiques . . . . .	7
1.2 Factorisation par fractions continues . . . . .	9
1.2.1 Méthodes de Fermat et Kraitichik . . . . .	9
1.2.2 Recherche de congruences de carrés . . . . .	10
1.2.3 Utilisation des fractions continues . . . . .	12
1.2.4 Complexité de la méthode . . . . .	13
<b>2 Explication du programme</b>	<b>14</b>
2.1 Architecture du programme . . . . .	14
2.1.1 Terminologie . . . . .	14
2.1.2 Structure générale . . . . .	15
2.1.3 Entrées et sorties . . . . .	15
2.2 Pivot de Gauss et recherche d'un facteur non trivial : <code>step_2.c</code> . . . . .	16
2.2.1 Utilisation des données collectées . . . . .	16
2.2.2 La fonction <code>gauss_elimination</code> . . . . .	17
2.2.3 La fonction <code>calculate_AQ</code> . . . . .	18
2.3 Collecte des paires $(A, Q)$ : <code>step_1.c</code> et <code>lp_var.c</code> . . . . .	19
2.3.1 La fonction <code>create_AQ_pairs</code> . . . . .	20
2.3.2 La <i>early abort strategy</i> . . . . .	20
2.3.3 La <i>large prime variation</i> . . . . .	20
<b>3 Résultats expérimentaux</b>	<b>21</b>
3.1 Choix de la taille de la base de factorisation . . . . .	21
3.2 Factorisation de $F_7$ . . . . .	22
3.3 Temps de calcul (avec les deux variantes) . . . . .	22
<b>Bibliographie</b>	<b>23</b>

# Introduction

La méthode de factorisation par fractions continues est une variante de la méthode de Fermat-Kraitchik dont les idées (recherche de congruences de carrés  $(\text{mod } N)$  —  $N$  étant le nombre à factoriser — et recherche de relations linéaires sur  $\mathbb{F}_2$ ) demeurent centrales dans les algorithmes de factorisation actuels. Cette méthode fut suggérée en 1931 par D. H. Lehmer et R. E. Powers et permet de manier des quantités plus petites que dans la méthode de Kraitchik originelle. C’est aussi l’une des premières méthodes de factorisation dont la complexité est sous-exponentielle. Bien que la méthode de crible quadratique lui soit aujourd’hui préférée, la méthode des fractions continues obtint des succès d’importance, notamment la première factorisation du nombre de Fermat  $F_7 = 2^{2^7} + 1$  le 13 septembre 1970. Cet exploit est dû à M. A. Morrison et J. Brillhart qui implémentèrent la méthode pour la première fois. Dans ce projet, nous implémentons à notre tour la méthode des fractions continues, en langage C, et dans une version très proche de celle de Morrison et Brillhart. La première section de ce texte est donc consacrée à la théorie mathématique sous-jacente ; la deuxième présente l’implémentation en détails ; la troisième expose les résultats numériques obtenus.

## 1 Théorie

### 1.1 Fractions continues

#### 1.1.1 Intuition

Intuitivement, une fraction continue est une expression — finie ou infinie — de la forme suivante :

$$a_0 + \frac{1}{a_1 + \frac{1}{a_2 + \frac{1}{a_3 + \dots}}}$$

telle que  $a_0 \in \mathbb{Z}$  et  $a_i \in \mathbb{N}^*$  pour tout  $i \in \mathbb{N}^*$ . Si la fraction continue est finie, elle est un rationnel ; si la fraction continue est infinie, on lui associe une valeur en calculant  $a_0$ , puis  $a_0 + \frac{1}{a_1}$ , puis  $a_0 + \frac{1}{a_1 + \frac{1}{a_2}}$ , et continuant une infinité de fois. La limite de la suite générée est la « valeur » de la fraction continue. Nous ferons sens plus précis de l’intuition dans la prochaine sous-section.

Les fractions continues permettent d’approcher des réels irrationnels par une suite de fractions d’entiers. Par exemple, la fraction  $\frac{103993}{33102}$  approche  $\pi$  avec une précision meilleure que le milliardième. Pour générer une telle fraction continue, on part de l’iden-

ité  $x = x + \lfloor x \rfloor - \lfloor x \rfloor$  et l'on écrit

$$x = \lfloor x \rfloor + \frac{1}{\frac{1}{x - \lfloor x \rfloor}}.$$

On pose  $x_0 = x$  et  $x_1 = \frac{1}{x_0 - \lfloor x_0 \rfloor}$  (bien défini par irrationalité de  $x$ ) et l'on répète la première étape sur  $x_1$  :

$$x = \lfloor x_0 \rfloor + \frac{1}{x_1} = \lfloor x_0 \rfloor + \frac{1}{\lfloor x_1 \rfloor + \frac{1}{\frac{1}{x_1 - \lfloor x_1 \rfloor}}}.$$

Comme le réel  $x$  est irrationnel, on peut répéter ce procédé indéfiniment. Nous construisons alors la suite d'éléments *irrationnels* de terme général

$$x_n = \frac{1}{x_{n-1} - \lfloor x_{n-1} \rfloor}, \quad \forall n \geq 1.$$

On associe alors à l'irrationnel  $x$  la fraction continue *infinie*<sup>1</sup>

$$\hat{x}_0 + \frac{1}{\hat{x}_1 + \frac{1}{\hat{x}_2 + \frac{1}{\hat{x}_3 + \dots}}},$$

où l'on a posé

$$\hat{x}_i = \lfloor x_i \rfloor$$

pour tout  $i \in \mathbb{N}$ .

**Notation 1.1.** Soit  $x \in \mathbb{R}$  un élément irrationnel. Notons  $x_0 = x$ ,

$$x_n = \frac{1}{x_{n-1} - \lfloor x_{n-1} \rfloor}, \quad \forall n \geq 1,$$

puis

$$\hat{x}_n := \lfloor x_n \rfloor, \quad \forall n \in \mathbb{N}.$$

**Remarque 1.2.** La méthode de construction d'une fraction continue *finie* pour un rationnel est la même : il faut simplement s'arrêter lorsque l'on tombe sur un  $\hat{x}_n$  vérifiant  $\hat{x}_n = \lfloor \hat{x}_n \rfloor$ . Cet algorithme termine et s'exécute plus simplement en utilisant l'algorithme d'Euclide ([Wik19] ¶ *Les deux fractions continues (finies) d'un rationnel*).

---

1. Lorsque nous aurons correctement défini la notion de fraction continue, cette fraction continue canoniquement associée à  $x$  sera notée  $\hat{x}$ .

### 1.1.2 Définition, réduites

Formellement, on peut définir<sup>2</sup> une fraction continue ainsi :

**Définition 1.3** (Fraction continue). On appelle *fraction continue* toute suite non vide (finie ou infinie)  $(a_i)_{i \in U} \in \mathbb{Z}^U$ ,  $U \subset \mathbb{N}$ , d'entiers qui vérifie

$$a_i \geq 1, \quad \forall i \in U \setminus \{0\}.$$

Cette suite est alors notée

$$a_0 + \frac{1}{a_1 + \frac{1}{a_2 + \frac{1}{a_3 + \dots}}}.$$

**Notation 1.4.** Soit  $x \in \mathbb{R}$  un irrationnel. On note  $\hat{x}$  la fraction continue infinie cano-  
niquement associée à  $x$  par la méthode exposée dans le premier paragraphe.

À toute fraction continue est associée une suite (finie ou infinie) de fractions « intermédiaires » appelées *réduites*<sup>3</sup>.

**Définition 1.5** (Réduites formelles). Soit  $(X_i)_{i \in \mathbb{N}}$  une suite (infinie) d'indéterminées sur le corps  $\mathbb{Q}$ . On définit

$$[X_0] = X_0$$

puis par récurrence

$$[X_0, \dots, X_n] = X_0 + \frac{1}{[X_1, \dots, X_n]}.$$

**Définition 1.6** (Réduites d'une fraction continue). Soit  $f$  une fraction continue.

- Si  $f$  est donnée par la suite finie  $(a_0, \dots, a_n)$ , pour tout  $k \in \llbracket 0, n \rrbracket$  on appelle *k-ième réduite de f* l'élément  $[a_0, \dots, a_k]$ .
- Si  $f$  est donnée par la suite infinie  $(a_i)_{i \in \mathbb{N}}$ , pour tout  $k \in \mathbb{N}$  on appelle *k-ième réduite de f* l'élément  $[a_0, \dots, a_k]$ .

**Exemple 1.7.** Soit  $f$  la fraction continue infinie donnée par la suite  $(1)_{i \in \mathbb{N}}$ . La première réduite est  $[1] = 1$ , la deuxième est

$$[1, 1] = 1 + \frac{1}{[1]} = 1 + \frac{1}{1}.$$

---

2. La définition mathématique est descriptive et non prescriptive.

3. L'utilisation d'indéterminées formelles permet dans la définition d'éviter les divisions par zéro.

Plus généralement, la  $k$ -ième réduite de  $f$  est de la forme

$$[1, 1, \dots, 1] = 1 + \frac{1}{1 + \frac{1}{\dots \frac{1}{1 + \frac{1}{1}}}}$$

Les réduites de toute fraction continue sont des éléments rationnels, y compris celles de la forme  $\hat{x}$  pour un certain irrationnel  $x$ . De fait,  $x$  n'est égal à aucune des réduites de  $\hat{x}$ . On a toutefois (voir notations 1.1) :

$$x = [\hat{x}_1, \dots, \hat{x}_{n-1}, x_n], \quad \forall x \in \mathbb{N}. \quad (1)$$

Si formellement les fractions continues sont des suites (déf. 1.3), leur représentation graphique permet de les voir trivialement comme des éléments du corps  $\mathbb{Q}$ . Si  $f$  est une fraction continue finie de suite  $(a_0, \dots, a_n)$ , le rationnel

$$a_0 + \frac{1}{a_1 + \frac{1}{a_2 + \dots}}$$

est égal à la dernière réduite  $[a_0, \dots, a_n]$ . On dit que  $f$  est égale au rationnel  $[a_0, \dots, a_n]$ . Pour les fractions continues infinies, ce n'est pas aussi simple.

**Définition 1.8.** Soient  $l$  un réel et  $f$  une fraction continue donnée par la suite infinie  $(a_i)_{i \in \mathbb{N}}$ . On dit que  $f$  *converge vers*  $l$  ou que  $f$  *est le développement en fraction continue de*  $l$  et l'on note  $f = l$  si la suite des réduites de  $f$  converge vers  $l$ . Si une fraction continue infinie est égale à un certain réel, on dit qu'elle converge.

**Exemple 1.9** (Nombre d'or). On appelle *nombre d'or* et l'on note  $\varphi$  l'unique racine réelle positive du polynôme  $X^2 - X - 1 \in \mathbb{Z}[X]$ . On a  $\varphi = \frac{1+\sqrt{5}}{2} \simeq 1,618$ . Comme

$\varphi^2 = \varphi + 1$  et que  $\varphi \neq 0$ , on a  $\varphi = 1 + \frac{1}{\varphi} = 1 + \frac{1}{1 + \frac{1}{\varphi}}$ . En réalité,  $\varphi$  admet un

développement en fraction continue donné par

$$\varphi = 1 + \frac{1}{1 + \frac{1}{1 + \frac{1}{1 + \dots}}}$$

Des raisonnements d'analyse élémentaire ([Wik19] ¶ *Bijection entre irrationnels et fractions continues infinies*) permettent de montrer que toute fraction continue infinie converge, et qu'elle converge vers un irrationnel.

**Théorème 1.10.** *L'application canonique*

$$x \mapsto \hat{x}_0 + \frac{1}{\hat{x}_1 + \frac{1}{\hat{x}_2 + \frac{1}{\hat{x}_3 + \dots}}}$$

*établit une bijection entre l'ensemble des nombres réels irrationnels et l'ensemble des fractions continues infinies.*

En particulier, une fraction continue converge vers un réel  $x$  si, et seulement si,  $f = \hat{x}$ . Attention, les réels tout entier ne sont pas en bijection avec les fractions continues (finies ou infinies). En effet, un rationnel est égal à exactement deux fractions continues car  $[a_0, \dots, a_n] = [a_0, \dots, a_n - 1, 1]$  ([Wik19] ¶ *Les deux fractions continues (finies) d'un rationnel*).

### 1.1.3 Irrationnels quadratiques

L'adaptation de l'algorithme de Fermat-Kraitchik avec les fractions continues que nous verrons plus tard utilise le développement en fraction continue de  $\sqrt{kN}$ , où  $N$  est le nombre à factoriser et  $k \in \mathbb{N}^*$  un entier bien choisi. Intéressons nous aux fractions continues des éléments de cette forme.

**Définition 1.11** (Irrationnel quadratique). On appelle *irrationnel quadratique* tout nombre réel, algébrique sur  $\mathbb{Q}$ , de degré 2. Un irrationnel quadratique est dit *réduit* si son conjugué est dans l'intervalle  $] -1, 0[$ .

Les fractions continues d'irrationnels quadratiques sont sujettes à des phénomènes de périodicité.

**Définition 1.12.** Soit  $f = (a_i)_{i \in \mathbb{N}}$  une fraction continue. On dit que  $f$  est *périodique* si la suite l'est à partir d'un certain rang. Il existe alors un rang  $n_0 \in \mathbb{N}$  et une période  $p \in \mathbb{N}^*$  tels que

$$a_i = a_{i+p}, \quad \forall i \geq n_0.$$

On note alors

$$f = [a_0, \dots, a_{n_0-1}, \overline{a_{n_0}, \dots, a_{n_0+p-1}}].$$

On dit que  $f$  est *purement périodique* si  $n_0 = 0$ .

**Exemple 1.13.** La fraction continue du nombre d'or est purement périodique de période 1. La fraction continue de l'irrationnel  $\sqrt{14}$  vaut

$$\sqrt{14} = [4, \overline{2, 1, 3, 1, 2, 8}].$$

Les résultats suivants sont fondamentaux (voir [Wik19] ¶ *Fraction continue d'un irrationnel quadratique* pour les preuves).

**Théorème 1.14** (Lagrange, 1770). *Un réel irrationnel est un irrationnel quadratique si, et seulement si, son développement en fraction continue est périodique.*

**Théorème 1.15** (Galois, 1829). *Un irrationnel quadratique est réduit si, et seulement si, son développement en fraction continue est purement périodique.*

**Théorème 1.16** (Legendre, 1798). *Un réel irrationnel est la racine carrée d'un entier  $> 1$  si, et seulement si, son développement en fraction continue est de la forme*

$$[a_0, \overline{a_1, a_2, \dots, a_2, a_1, 2a_0}].$$

Ces phénomènes de périodicité devront être pris en compte dans les paramètres d'entrée de l'algorithme de factorisation<sup>4</sup>. En plus de la suite des réduites, nous aurons besoin d'une autre suite importante.

**Lemme 1.17.** *Soit  $x$  un irrationnel quadratique. Alors l'élément  $\frac{1}{x-[x]}$  est lui aussi un irrationnel quadratique.*

Voir [Lau] prop. 2.5.2. Fixons  $N$  l'entier à factoriser,  $k \in \mathbb{N}^*$  tel que  $\sqrt{kN}$  est un irrationnel quadratique et  $x := \sqrt{kN}$ . D'après l'identité 1 et en reprenant les notations 1.1, nous pouvons donner un développement partiel (jusqu'à un rang donné  $n \in \mathbb{N}$ ) de  $x$  en fraction continue

$$x = [\hat{x}_1, \dots, \hat{x}_{n-1}, x_n].$$

D'après le lemme précédent,  $x_n$  est lui aussi un irrationnel quadratique, ce qui permet de l'écrire ([Lau] dém. de 2.5.8) de manière unique

$$x_n = \frac{P_n + x}{Q_n}, \quad P_n, Q_n \in \mathbb{Z}. \quad (2)$$

La  $n$ -ième réduite de  $x$  étant un nombre rationnel, on peut l'écrire sous la forme  $\frac{A_n}{B_n}$ , où  $A_n, B_n$  sont entiers et la fraction est irréductible bien définie. Pour tout  $n \geq 1$ , on a ([Lau] § 2.7)

$$A_{n-1}^2 - kNB_{n-1}^2 = (-1)^n Q_n$$

---

4. Nous verrons qu'il est nécessaire de développer  $\sqrt{kN}$  jusqu'à un rang très grand pour obtenir beaucoup de relations de congruences. Une période trop courte n'en fournirait pas suffisamment.



et donc

$$A_{n-1}^2 \equiv (-1)^n Q_n \pmod{N}. \quad (3)$$

On a également ([Lau] dém. de 2.5.8)

$$Q_n < 2\sqrt{kN}. \quad (4)$$

Ces notations et identités seront cruciales dans la suite.

## 1.2 Factorisation par fractions continues

Dans tout le reste de cette section,  $N$  désigne un entier naturel composé impair.

### 1.2.1 Méthodes de Fermat et Kraitchik

La méthode de factorisation de Fermat part du constat suivant.

**Lemme 1.18.** *Factoriser  $N$  est équivalent à l'exprimer comme différence de deux carrés d'entiers.*

*Démonstration.* Si  $N = u^2 - v^2$ ,  $u, v \in \mathbb{Z}$  alors  $N = (u - v)(u + v)$ . Réciproquement si l'on a une factorisation  $N = ab$ , alors  $N = \left(\frac{a+b}{2}\right)^2 - \left(\frac{a-b}{2}\right)^2$ .  $\square$

La méthode de Fermat exploite cette propriété et se montre particulièrement efficace lorsque  $N$  est le produit de deux entiers proches l'un de l'autre. Notons  $N = ab$  une factorisation de  $N$  avec  $a$  et  $b$  proches,  $r = \frac{a+b}{2}$ ,  $s = \frac{a-b}{2}$  de sorte que

$$N = r^2 - s^2.$$

Comme  $s$  est petit en valeur absolue par hypothèse, l'entier  $r$  est donc plus grand que  $\sqrt{N}$  tout en lui étant proche. Il existe donc un entier positif  $u$  *pas trop grand* tel que

$$\lfloor \sqrt{N} \rfloor + u = r$$

et donc tel que  $(\lfloor \sqrt{N} \rfloor + u)^2 - N$  soit un carré. Trouver un tel entier  $u$  donne alors la factorisation de  $N$ . Comme les facteurs de  $N$  sont proches l'un de l'autre, on le trouve par essais successifs.

La méthode de Fermat est cependant inefficace lorsque les facteurs de  $N$  ne sont pas proches. D'après [Pom96] ¶ *Fermat and Kraitchik*, la méthode est alors encore plus coûteuse que la méthode des divisions successives. Dans les années 1920, Maurice Kraitchik a amélioré l'efficacité de la méthode de Fermat. Son idée essentielle est que pour factoriser  $N$ , il *suffit* de trouver une différence de deux carrés qui soit un multiple de  $N$ .

**Lemme 1.19.** *Connaître deux entiers  $u, v \in \mathbb{Z}$  tels que  $u^2 \equiv v^2 \pmod{N}$  et  $u \not\equiv \pm v \pmod{N}$  fournit une factorisation de  $N$ . Plus spécifiquement, les entiers  $\text{pgcd}(u-v, N)$  et  $\text{pgcd}(u+v, N)$  sont des facteurs non triviaux de  $N$ .*

*Démonstration.* Posons  $g = \text{pgcd}(u-v, N)$  et  $g' = \text{pgcd}(u+v, N)$ . Comme  $u \not\equiv \pm v \pmod{N}$ , on a  $g < N$  et  $g' < N$ . Enfin ni  $g$  et  $g'$  ne sont réduits à 1 : si l'un des deux l'est, l'autre vaut  $N$ , contradiction. Donc  $g$  et  $g'$  sont tous deux des facteurs non triviaux de  $N$ .  $\square$

**Remarque 1.20.** Dans l'algorithme, nous nous contenterons de chercher des  $u, v$  tels que  $N$  divise la différence de leurs carrés, sans vérifier s'ils vérifient  $u \not\equiv \pm v \pmod{N}$ . Comme le polynôme  $X^2 - v^2 \in \mathbb{Z}/N\mathbb{Z}$  a exactement quatre racines, il y a « une chance sur deux » pour que  $u$  et  $v$  nous fournissent un facteur non trivial de  $N$ .

La factorisation de  $N$  se fait donc en trouvant de tels couples  $(u, v)$ . Kraitchik cherche dans un premier temps des couples  $(u_i, Q_i)_{1 \leq i \leq r}$  vérifiant

$$u_i^2 \equiv Q_i \pmod{N}$$

et tels que l'entier  $\prod_{i=1}^r Q_i$  soit un carré (dans  $\mathbb{Z}$ ). Posant  $u = \prod_{i=1}^r u_i$  et  $v = \sqrt{\prod_{i=1}^r Q_i}$ , il vient

$$u^2 \equiv v^2 \pmod{N}.$$

Obtenir des congruences de la forme  $u_i^2 \equiv Q_i \pmod{N}$  ne pose pas de difficulté. Kraitchik propose d'utiliser le polynôme<sup>5</sup>

$$K := X^2 - N \in \mathbb{Z}[X].$$

Se donner des éléments  $u_1, \dots, u_s \in \mathbb{Z}$  et poser  $Q_1 = K(u_1), \dots, Q_s = K(u_s)$  fournit bien des congruences de la forme souhaitée. Il reste à donner un algorithme efficace permettant d'exhiber une sous-famille de  $\{Q_1, \dots, Q_s\}$  dont le produit est un carré.

### 1.2.2 Recherche de congruences de carrés

Morrison et Brillhart proposent un tel algorithme dans [MB75]. Leur méthode est basée sur la connaissance de congruences de la forme

$$u_i^2 \equiv Q_i \pmod{N},$$

où  $|Q_i|$  est suffisamment petit pour être factorisé. On fixe pour cela  $B = \{p_1, \dots, p_m\}$  une base de factorisation, c'est-à-dire un ensemble non vide fini de nombres premiers,

---

5. Ce qui n'est pas sans défaut, nous verrons plus tard que l'utilisation des fractions continues en lieu et place de ce polynôme est plus efficace.

et l'on dit qu'un entier  $Q \in \mathbb{N} \setminus \{0, 1\}$  est *B-friable* si tous ses facteurs premiers sont dans  $B$ . Soit  $Q \in \mathbb{Z}$  un entier dont la valeur absolue est *B-friable*. Il s'écrit alors

$$Q = (-1)^{v_0} \prod_{i=1}^m p_i^{v_{p_i}(Q)}.$$

Puisque les éléments de  $B$  sont fixés et en nombre fini, l'élément  $Q$  peut être vu comme le vecteur des valuations  $(v_{p_m}(Q), \dots, v_{p_1}(Q), v_0) \in \mathbb{N}^{m+1}$ .

**Définition 1.21.** On appelle *B-vecteur exposant de  $Q$* , ou simplement *vecteur exposant de  $Q$*  si aucune confusion n'est possible, et l'on note  $v_B(Q)$  le vecteur<sup>6</sup>

$$v_B(Q) := (v_{p_m}(Q), \dots, v_{p_1}(Q), v_0) \in \mathbb{F}_2^{m+1}.$$

Connaissant suffisamment d'entiers  $Q_i$  de valeur absolue *B-friable*, on peut en extraire une sous-famille dont le produit est un carré.

**Proposition 1.22.** Soit  $F$  une famille d'entiers dont les valeurs absolues sont *B-friables*. Si

$$\#F \geq \#B + 2$$

alors on peut extraire une sous-famille de  $F$  dont le produit des éléments est un carré.

*Démonstration.* Posons  $F = \{Q_1, \dots, Q_s\}$  (de sorte que  $s = \#F$ ) et  $B = (p_1, \dots, p_m)$  (de sorte que  $\#B = m$ ). Par hypothèse de friabilité, on peut associer à chaque  $Q_j$ ,  $1 \leq j \leq s$ , un *B-vecteur exposant*. Fixons  $j, j' \in \llbracket 1, s \rrbracket$ . L'entier  $Q_j$  est un carré si, et seulement si, les composantes de son vecteur de valuations

$$(v_{p_m}(Q), \dots, v_{p_1}(Q), v_0) \in \mathbb{N}^{m+1}$$

sont paires, i.e. si son *B-vecteur exposant* est nul. Par propriété des valuations, le *B-vecteur exposant* associé au produit  $Q_j \cdot Q_{j'}$  est le vecteur somme  $v_B(Q_j) + v_B(Q_{j'})$ . Autrement dit, le produit d'une sous-famille  $\{Q_{j_1}, \dots, Q_{j_r}\}$  de  $F$  est un carré si, et seulement si, la somme des *B-vecteurs exposants*  $v_B(Q_{j_1}), \dots, v_B(Q_{j_r})$  est nulle. Soit  $V$  le  $\mathbb{F}_2$ -espace vectoriel  $\mathbb{F}_2^{m+1}$ , qui est de dimension  $m+1$ . Comme  $s \geq m+2$ , la famille

$$\{v_B(Q_1), \dots, v_B(Q_s)\}$$

est liée dans  $V$  et il existe de fait des éléments  $l_1, \dots, l_s \in \mathbb{F}_2$  tels que

$$\sum_{j=1}^s l_j v_B(Q_j) = 0.$$

L'élément  $\prod_{j=1}^s Q_j^{l_j}$  est alors un carré. □

---

6. Notez qu'il s'agit d'un élément de  $\mathbb{F}_2^{m+1}$  : seule la parité des valuations nous intéresse. L'élément  $v_0$  est placé à droite et non au début car il correspondra au bit de poids faible du *B-vecteur exposant* dans le code.

Étant données des congruences de la forme  $u_i^2 \equiv Q_i \pmod{N}$ , la preuve de la proposition fournit un procédé d'algèbre linéaire pour extraire une sous-famille des  $Q_i$  dont le produit des éléments est un carré. On trouve tout d'abord des  $Q_{i_1}, \dots, Q_{i_s}$  dont la valeur absolue est  $B$ -friable<sup>7</sup>. Soit  $M$  la matrice

$$M := \begin{pmatrix} v_B(Q_{i_1}) \\ \vdots \\ v_B(Q_{i_s}) \end{pmatrix} \in \mathcal{M}_{s, \#B+1}(\mathbb{F}_2),$$

soient  $l_1, \dots, l_s$  les éléments de  $\mathbb{F}_2$  donnés dans la preuve de la proposition tels que

$$\prod_{j=1}^s Q_{i_j}^{l_{i_j}}$$

est un carré. Le vecteur  $(l_1, \dots, l_s)$  est un élément du noyau de la matrice transposée de  $M$ . Il peut donc être exhibé par pivot de Gauß.

### 1.2.3 Utilisation des fractions continues

L'introduction des fractions continues est motivée par le constat suivant. Si

$$u_i^2 = Q_i + kNb^2, \quad u_i, Q_i, b \in \mathbb{Z}, k \in \mathbb{N}^*$$

de telle sorte que  $|Q_i|$  est petit, alors

$$\left(\frac{u_i}{b}\right)^2 - kN = \frac{Q_i}{b^2}$$

est petit en valeur absolue et  $\frac{u_i}{b}$  est une bonne approximation de  $\sqrt{kN}$  ([Coh93], p. 478). Fixons  $k$  un entier naturel non nul, posons  $x = \sqrt{kN}$  et reprenons les notations 1.1 et celles développées à la fin de la sous-section 1.1.3. En vertu de l'identité

$$A_{n-1}^2 \equiv (-1)^n Q_n \pmod{N},$$

nous appelons *méthode de factorisation des fractions continues* la méthode de Kraitchik dans laquelle les entiers  $u_i$  sont donnés par les  $A_{i-1}$  et les  $Q_i$  par les  $(-1)^i Q_i$ .

L'intérêt de la méthode des fractions continues réside en la majoration  $Q_n \leq 2\sqrt{kN}$  (4). À l'inverse, les  $x^2 - N, x \in \mathbb{N}$  de Kraitchik ont une croissance linéaire de pente  $2\sqrt{N}$  lorsque  $x$  s'éloigne de  $\sqrt{N}$ . Pour une base de factorisation  $B$  fixée, les  $Q_n$  auront donc plus de chance d'être  $B$ -friables. Or, l'étape la plus coûteuse de l'algorithme est celle de la recherche des termes  $B$ -friables par divisions successives. Notons d'autre part qu'il est facile de générer le développement en fraction continue de  $x$  et les paires  $(A_{n-1}, Q_n)$  grâce à un algorithme itératif dû à Gauß et exposé dans [MB75], p. 185. Qui plus est, on a le résultat suivant ([MB75], p. 191).

---

7. Nous le ferons en factorisant les  $Q_i$  à disposition par divisions successives.

**Proposition 1.23.** *Les diviseurs premiers  $p$  de  $Q_n$  vérifient nécessairement*

$$\left(\frac{kN}{p}\right) \in \{0, 1\}.$$

*Démonstration.* Notons  $\frac{A_n}{B_n}$  la  $n$ -ième réduite de  $\sqrt{kN}$ . Soit  $p$  un diviseur premier de  $Q_n$ . Alors  $A_{n-1}^2 \equiv kNB_{n-1}^2 \pmod{p}$ . Comme  $\text{pgcd}(A_{n-1}, B_{n-1}) = 1$ ,  $p$  ne peut pas diviser  $B_{n-1}$  (sinon  $A_{n-1}^2 \equiv 0 \pmod{p}$  et  $p$  diviserait aussi  $A_{n-1}$ ). L'entier  $B_{n-1}$  est donc inversible modulo  $p$  et  $\left(\frac{A_{n-1}}{B_{n-1}}\right)^2 \equiv kN \pmod{p}$ .  $\square$

### 1.2.4 Complexité de la méthode

Pour étudier la complexité de la phase de recherche de congruences, nous nous plaçons dans le cadre suivant : on conjecture que les valeurs absolues des entiers  $Q_i$  des relations de congruences  $u_i^2 \equiv Q_i \pmod{N}$  sont des nombres aléatoires d'un intervalle  $\llbracket 1, X \rrbracket$ <sup>8</sup> et on fixe une base de factorisation  $B$  comprenant tous les nombres premiers inférieurs à une borne  $Y \in \mathbb{N}$ , appelée borne d'effritement. L'efficacité de la méthode dépend du choix de cette borne d'effritement ([Gui10]). Si elle est trop petite, les entiers  $Q_i$  auront peu de chance d'être  $B$ -friables ; si elle est trop grande, le nombre d'entiers  $Q_i$   $B$ -friables à collecter pour obtenir une relation de dépendance linéaire entre les vecteurs exposants sera très important.

**Notation 1.24.** Pour tout réel  $Y \in \mathbb{R}_+$  on note  $\pi(Y)$  le cardinal de l'ensemble des nombres premiers inférieurs ou égaux à  $Y$ .

**Notation 1.25.** Soient  $X$  et  $Y$  des réels vérifiant  $0 \leq Y \leq X$ . On note  $\psi(X, Y)$  le nombre d'entiers dans l'intervalle  $\llbracket 1, X \rrbracket$  dont les facteurs premiers sont tous inférieurs ou égaux à  $Y$ . La fonction  $\psi$  est appelée fonction de De Bruijn.

La « probabilité » qu'un entier aléatoire de l'intervalle  $\llbracket 1, X \rrbracket$  soit  $B$ -friable est donc

$$\frac{\psi(X, Y)}{\lfloor X \rfloor},$$

soit environ  $\frac{\psi(X, Y)}{X}$ . Le nombre d'entiers  $Q_i$  à générer avant d'en trouver un  $B$ -friable est par conséquent de l'ordre de

$$\frac{X}{\psi(X, Y)}.$$

Puisque l'on cherche à obtenir autant de  $Q_i$   $B$ -friables que le cardinal  $\pi(Y)$  de la base de factorisation, il faudra tester au total la friabilité de  $\pi(Y) \frac{X}{\psi(X, Y)}$  entiers  $Q_i$ . Il

---

8. Dans le cas de la méthode de factorisation avec les fractions continues  $X$  vaut  $2\sqrt{kN}$ .

faut multiplier ce nombre d'essais par la complexité de la factorisation par divisions succesives par les  $\pi(Y)$  premiers de la base de factorisation. Chaque division a une complexité bornée par  $\ln(X) \ln(Y)$ . On arrive donc finalement à une complexité en

$$O\left(\pi(Y)^2 \frac{X}{\psi(X, Y)} \ln(X) \ln(Y)\right).$$

La borne d'effritement  $Y$  optimale est ainsi celle qui minimise cette complexité. Interviennent alors dans l'étude des résultats de théorie des nombres. Le théorème des nombres premiers (Hadamard et de la Vallée-Poussin, 1896) donne l'équivalence  $\pi(x) \sim \frac{x}{\ln(x)}$  au voisinage de  $+\infty$ . La fonction de De Bruijn a été étudiée par Canfield, Erdős et Pomerance qui ont également établi la borne d'effritement optimale ([Pom96])

$$Y = e^{\frac{1}{2}\sqrt{\ln X \ln \ln X}},$$

qui donne une complexité pour la phase de collecte de

$$e^{2\sqrt{\ln X \ln \ln X}}.$$

La complexité du pivot de Gauß cubique en la taille de la base de factorisation ( $e^{\frac{3}{2}\sqrt{\ln X \ln \ln X}}$ ), est alors négligeable devant la complexité de la phase de recherche de congruences.

## 2 Explication du programme

Dans cette §, nous décrivons notre implémentation de la méthode de factorisation des fractions continues.

### 2.1 Architecture du programme

#### 2.1.1 Terminologie

Énonçons pour commencer quelques définitions qui seront utiles pour décrire le code, en reprenant les notations de la sous-§ précédente.

**Définition 2.1.** On nomme *paire*  $(A, Q)$  tout couple  $(A_{n-1}, Q_n), n \geq 1$ .

**Définition 2.2.** Un ensemble de paires  $(A, Q)$  indexé par  $n_1, \dots, n_r$  est dit *valide* si le produit  $\prod_{i=1}^r (-1)^{n_i} Q_{n_i}$  est un carré (dans  $\mathbb{Z}$ ).

**Définition 2.3.** Si  $B$  est la base de factorisation utilisée par le programme, on désignera par l'expression *vecteur exposant associé à  $Q_n$*  le  $B$ -vecteur exposant  $v_B((-1)^n Q_n)$ .

### 2.1.2 Structure générale

Le programme comprend deux étapes principales. La première consiste à générer, à partir du développement en fractions continues de  $\sqrt{kN}$  (voir 1.1.3), des paires  $(A, Q)$  avec  $Q_n$  friable pour une base de factorisation préalablement déterminée et fixée. On associe à chaque  $Q_n$  ainsi produit son vecteur exposant `mpz_t exp_vect`. Ce vecteur permet de retenir les nombres premiers qui interviennent dans la factorisation de  $Q_n$  avec une valuation impaire. Dans le but d'augmenter le nombre de paires  $(A, Q)$  acceptées lors de cette étape, nous avons implémenté la *large prime variation*. Cette variante permet d'accepter une paire si son  $Q_n$  se factorise grâce aux premiers de la base de factorisation fixée et à un nombre premier supplémentaire. Les fonctions de cette phase de collecte sont rassemblées dans le fichier `step_1.c`. Elles font appel, pour mettre en oeuvre la *large prime variation*, aux fonctions du fichier `lp_var.c`.

Ces données sont traitées lors de la seconde phase dans l'espoir de trouver un facteur non trivial de  $N$ . Il s'agit de trouver des ensembles valides de paires  $(A, Q)$  parmi les paires trouvées en première phase. Cela se fait par pivot de Gauß sur la matrice dont les lignes sont formées des vecteurs exposants (voir 1.2.2). Chaque ensemble de paires  $(A, Q)$  valide trouvé fournit une congruence de la forme  $A^2 \equiv Q^2 \pmod{N}$ . Cette dernière permet éventuellement de trouver un facteur non trivial de  $N$ . Les fonctions de cette phase sont regroupées dans le fichier `step_2.c`.

Avant d'effectuer la première étape, il faut se doter d'une base de factorisation, ce qui est fait avec les fonctions de `init_algo.c`. Ces dernières se chargent plus généralement de l'initialisation et du choix par défaut des paramètres, comme la taille de la base de factorisation ou l'entier  $k$ .

Finalement, en mettant bout à bout les deux étapes, la fonction `contfract_factor` du fichier `fact.c` recherche un facteur non trivial de  $N$  et `print_results` affiche les résultats.

### 2.1.3 Entrées et sorties

Nous avons regroupé dans une structure `Params` les paramètres d'entrée de la fonction de factorisation, à savoir :

- `N` : le nombre à factoriser, supposé produit de deux grands nombres premiers.
- `k` : le coefficient multiplicateur.
- `n_lim` : le nombre maximal de paires  $(A, Q)$  que l'on s'autorise à calculer. Ce nombre prend en compte toutes les paires produites, non uniquement les paires dont le  $Q_n$  est friable ou résultant de la *large prime variation*.

- `s_fb` : la taille de la base de factorisation.
- `nb_want_AQp` : le nombre désiré de paires  $(A, Q)$  avec  $Q_n$  friable ou résultant de la *large prime variation*.
- des booléens indiquant si la *early abort strategy* ou la *large prime variation* doivent être utilisées et des paramètres s’y rapportant.

Le programme stocke dans une structure **Results** un facteur non trivial de  $N$  trouvé (si tel est le cas) ainsi que des données permettant l’analyse des performances de la méthode.

**Remarque 2.4.** L’efficacité de la méthode dépend du choix des paramètres ci-dessus. Pour avoir plus de latitude dans les tests, nous les considérons comme des paramètres d’entrée du programme. C’est pourquoi notre programme ne s’attèle pas à la factorisation complète d’un entier, qui aurait nécessité une sous-routine déterminant des paramètres optimaux en fonction de la taille de l’entier dont on cherche un facteur.

**Remarque 2.5.** Notre programme n’est pas supposé prendre en entrée un nombre admettant un petit facteur premier (inférieur aux premiers de la base de factorisation par exemple). En effet, comme il ne teste pas au préalable si  $N$  est divisible par de petits facteurs, il mettra autant de temps à trouver un petit facteur qu’un grand facteur.

## 2.2 Pivote de Gauss et recherche d’un facteur non trivial : `step_2.c`

Avant de nous pencher sur les détails de la phase de collecte, regardons l’implémentation de la seconde phase, qui aide à mieux comprendre la forme sous laquelle nous collectons les données.

### 2.2.1 Utilisation des données collectées

A l’issue de la première phase, on espère avoir collecté `nb_want_AQp` paires  $(A, Q)$  avec  $Q_n$  friable<sup>9</sup>. Le nombre réel de telles paires est stocké dans le champ `nb_AQp` d’une structure **Results** (voir sous-§ précédente). Une paire  $(A, Q)$  collectée est caractérisée par :

- la valeur  $A_{n-1}$ ,
- la valeur  $Q_n$ ,
- le vecteur exposant associé à  $Q_n$ ,
- un vecteur historique (voir ci-contre).

---

9. Les paires peuvent aussi résulter de la *large prime variation*, cela n’a aucune incidence sur les fonctions de cette partie.



Les données de ces `nb_AQp` paires sont stockées dans quatre tableaux : `mpz_t *Ans`, `mpz_t *Qns`, `mpz_t *exp_vects` et `mpz_t *hist_vects`. À un indice correspond une paire  $(A, Q)$  donnée. Le vecteur historique sert à indexer les paires collectées pour former un analogue de la matrice identité utilisée pendant le pivot de Gauss. Plus précisément, `hist_vects[i]` est, avant pivot de Gauss, le vecteur  $(e_{l-1}, \dots, e_0)$  où  $l = \text{nb\_AQp}$  et  $e_j = \delta_{ij}$ . À partir de ces quatre tableaux, la fonction `find_factor` cherche un facteur de  $N$  selon la méthode des congruences de carrés. Elle utilise pour cela les fonctions auxiliaires `gauss_elimination` et `calculate_A_Q`.

### 2.2.2 La fonction `gauss_elimination`

La fonction `gauss_elimination` effectue un pivot de Gauss sur les éléments de `mpz_t *exp_vects`, vus comme les vecteurs-lignes d'une matrice. Comme pour un pivot de Gauss classique, les calculs effectués sur les vecteurs exposants sont reproduits en parallèle sur la matrice identité, c'est-à-dire sur les éléments de `mpz_t *hist_vects`. Si le *xor* de deux vecteurs exposants donne le vecteur nul, cela signifie qu'une relation de dépendance a été trouvée. On inscrit alors dans un tableau l'indice de ce vecteur nul. Le vecteur historique dudit indice indique les paires  $(A, Q)$  de l'ensemble valide trouvé. La procédure que nous avons implémentée est décrite ci-dessous.

**Algorithme 1 : PIVOT DE GAUSS**

**Entrées :** tableau  $\text{exp\_vects}[0 \dots nb\_AQp - 1]$  des vecteurs exposants, tableau  $\text{hist\_vects}[0 \dots nb\_AQp - 1]$  des vecteurs historiques

**Sorties :**  $\text{hist\_vects}[0 \dots nb\_AQp - 1]$  après le pivot, le nombre  $nb\_lin\_rel$  de relations linéaires trouvées,  $\text{lin\_rel\_ind}[0 \dots nb\_lin\_rel - 1]$  contenant les indices des lignes où une relation linéaire a été trouvée

```

1 créer tableau  $\text{msb\_ind}[0 \dots nb\_AQp - 1]$ 
2 créer tableau  $\text{lin\_rel\_ind}$ 
3  $nb\_lin\_rel \leftarrow 0$ 

/* Initialisation du tableau  $\text{MSB\_IND}$  :  $\text{MSB}(x)$  renvoie 0 si  $x$  est
   nul, l'indice du bit de poids fort de  $x$  sinon. Les indices des
   bits sont numérotés de 1 à l'indice du bit de poids fort. */

4 pour  $i \leftarrow 0$  à  $nb\_AQp - 1$  faire
5    $\text{msb\_ind}[i] \leftarrow \text{MSB}(\text{exp\_vects}[i])$ 

6 pour  $j \leftarrow \text{MAX}(\text{msb\_ind})$  à 1 faire
7    $\text{pivot} \leftarrow \begin{cases} \min \{i \in \llbracket 0, nb\_AQp - 1 \rrbracket \mid \text{msb\_ind}[i] = j\} \\ \emptyset \text{ si pour tout } i \in \llbracket 0, nb\_AQp - 1 \rrbracket, \text{msb\_ind}[i] \neq j \end{cases}$ 
8   si  $\text{pivot} \neq \emptyset$  alors
9     pour  $i \leftarrow \text{pivot} + 1$  à  $nb\_AQp - 1$  faire
10      si  $\text{msb\_ind}[i] = j$  alors
11         $\text{exp\_vects}[i] \leftarrow \text{exp\_vects}[i] \oplus \text{exp\_vects}[\text{pivot}]$ 
12         $\text{hist\_vects}[i] \leftarrow \text{hist\_vects}[i] \oplus \text{hist\_vects}[\text{pivot}]$ 
13         $\text{msb\_ind}[i] \leftarrow \text{MSB}(\text{exp\_vects}[i])$ 
14        si  $\text{exp\_vects}[i] = 0$  alors
15          ajouter  $i$  au tableau  $\text{lin\_rel\_ind}$ 
16           $nb\_lin\_rel \leftarrow nb\_lin\_rel + 1$ 

17 retourner  $\text{hist\_vects}[0 \dots nb\_AQp - 1]$ ,  $\text{lin\_rel\_ind}[0 \dots nb\_lin\_rel - 1]$ ,
     $nb\_lin\_rel$ 

```

**2.2.3 La fonction `calculate_A_Q`**

Une fois les indices des vecteurs historiques indiquant un ensemble valide de paires  $(A, Q)$  récupérés, la fonction `find_factor` appelle la fonction `calculate_A_Q` pour calculer des entiers  $A$  et  $Q$  vérifiant  $A^2 \equiv Q^2 \pmod{N}$ . Elle lui donne en argument un de ces vecteurs historiques et les données des tableaux `Ans` et `Qns`.

Notons  $l$  l'entier `nb_AQp` et  $(e_{l-1}, \dots, e_0) \in \mathbb{F}_2^l$  le vecteur historique donné en argument de la fonction. Le calcul de

$$A := \prod_{i=0}^{l-1} Ans[i]^{e_i} \pmod{N}$$

ne pose pas de difficulté. Pour le calcul de

$$Q := \sqrt{\prod_{i=0}^{l-1} Qns[i]^{e_i}} \pmod{N},$$

on utilise l'algorithme proposé par Morrison et Brillhart.

<b>Algorithme 2 : EXTRACTION DE RACINE CARRÉE</b>	
<b>Entrées :</b>	Des entiers $Q_1, \dots, Q_r \in \mathbb{Z}$ tels que $\prod_{i=1}^r Q_i$ est un carré
<b>Sorties :</b>	$\sqrt{\prod_{i=1}^r Q_i} \pmod{N}$
1	$Q \leftarrow 1$
2	$R \leftarrow Q_1$
3	<b>pour</b> $i \leftarrow 2$ <b>à</b> $r$ <b>faire</b>
4	$X \leftarrow \text{pgcd}(R, Q_i)$
5	$Q \leftarrow XQ \pmod{N}$
6	$R \leftarrow \frac{R}{X} \cdot \frac{Q_i}{X}$
7	$X \leftarrow \sqrt{R}$
8	$Q \leftarrow XQ \pmod{N}$
9	<b>retourner</b> $Q$

**Remarque 2.6.** Pour démontrer la correction de l'algorithme, on peut utiliser l'invariant de boucle

$$Q\sqrt{R.Q_i \cdots Q_r} \equiv \sqrt{\prod_{i=1}^r Q_i} \pmod{N},$$

dont la conservation découle de l'égalité

$$Q\sqrt{R.Q_i \cdots Q_r} \equiv QX\sqrt{\frac{R}{X} \frac{Q_i}{X} Q_{i+1} \cdots Q_r} \pmod{N}.$$

### 2.3 Collecte des paires $(A, Q)$ : `step_1.c` et `lp_var.c`

Décrivons à présent la phase de collecte des données. Concernant les vecteurs historiques, il suffit d'initialiser à la fin de la collecte `hist_vects[i]` pour  $0 \leq i < \text{nb\_AQp}$ . C'est ce que fait la fonction `init_hist_vects`. La collecte des autres données requiert un peu plus d'explications.

### 2.3.1 La fonction `create_AQ_pairs`

Sachant que seules les paires  $(A, Q)$  dont on a pu factoriser  $Q_n$  nous intéressent pour la seconde phase, nous avons décidé de ne stocker que celles-ci. Ce choix a un autre avantage : ayant fixé `nb_want_AQp` le nombre de paires  $(A, Q)$  factorisées désirées, on peut arrêter le développement en fraction continue dès que ce nombre est atteint. Au fur à mesure du développement de  $\sqrt{kN}$  en fraction continue, il faut donc tester si le  $Q_n$  qui vient d'être calculé est factorisable. Si c'est le cas, on crée son vecteur exposant et ajoute les données de la paire aux tableaux `Ans`, `Qns` et `exp_vects`. Tout ceci est géré dans la longue fonction `create_AQ_pairs`, qui utilise les sous-routines `is_Qn_factorisable` et `init_exp_vect`.

### 2.3.2 La *early abort strategy*

La fonction `is_Qn_factorisable` teste si un  $Q_n$  est friable<sup>10</sup> par divisions successives avec les premiers de la base de factorisation. Il est possible d'améliorer les performances de la fonction en l'empêchant de poursuivre les divisions successives si, après un certain nombre de tentatives, on juge la partie non factorisée de  $Q_n$  trop grande ([PW83]). On fixe pour cela une borne `eas_bound_div` (proportionnelle à la borne déjà connue  $2\sqrt{kN}$ ), un palier `eas_cut` et l'on arrête les divisions successives sur  $Q_n$  si  $Q_n$  reste plus grand que `eas_bound_div` après `eas_cut` tentatives de divisions.

### 2.3.3 La *large prime variation*

Étant donnée une base de factorisation  $B = \{p_1, \dots, p_m\}$ , la *large prime variation* ([PW83]) consiste à accepter lors de la collecte, non seulement des  $Q_n$   $B$ -friables mais aussi des  $Q_n$  produits d'un entier  $B$ -friable et d'un entier  $lp_n$  inférieur à  $p_m^2$ . On dira que  $Q_n$  est *presque friable* et l'on appellera *grand premier (large prime)* le premier  $lp_n$  en question.

Pour que des  $Q_n$  presque friables soient exploitables, il faut qu'ils aient un grand premier  $lp$  en commun. En effet, si on trouve deux entiers presque friables  $Q_{n_1} = X_{n_1}lp$  et  $Q_{n_2} = X_{n_2}lp$ , on peut former une nouvelle paire  $(A, Q)$  avec laquelle on peut travailler pour chercher une congruence de carrés. Remarquons pour cela que :

$$\begin{cases} A_{n_1-1}^2 \equiv (-1)^{n_1} X_{n_1} lp \pmod{N}, \\ A_{n_2-1}^2 \equiv (-1)^{n_2} X_{n_2} lp \pmod{N}. \end{cases}$$

---

10. Ou presque friable, voir ¶ suivant.

Multiplier entre elles ces deux identités donne :

$$(A_{n_1-1}A_{n_2-1})^2 \equiv \underbrace{(-1)^{n_1+n_2}X_{n_1}X_{n_2}}_{\text{associé au vecteur exposant}} \underbrace{lp^2}_{\text{carré qui ne pose pas problème}} \pmod{N}.$$

$$v_B\left((-1)^{n_1}X_{n_1}\right) + v_B\left((-1)^{n_2}X_{n_2}\right)$$

On forme donc la nouvelle paire  $(A_{n_1-1}A_{n_2-1} \pmod{N}, Q_{n_1}Q_{n_2})$  associée au vecteur exposant  $v_B\left((-1)^{n_1}X_{n_1}\right) + v_B\left((-1)^{n_2}X_{n_2}\right)$ . Elle sera traitée lors de la deuxième phase exactement de la même manière que les paires « classiques ».

En pratique, pour repérer les paires qui ont le même grand premier, nous constituons au fur et à mesure de la collecte une liste chaînée dont les nœuds stockent les données d'une paire dont le  $Q_n$  est presque friable (les entiers  $Q_n$ ,  $A_{n-1}$ , le vecteur exposant et le grand premier associé à  $Q_n$ ). Nous maintenons cette liste triée par taille des grands premiers. Lorsque survient un  $Q_n$  presque friable, il est repéré par la fonction `is_Qn_factorisable` qui fournit également son grand premier  $lp$ . La liste chaînée est alors parcourue pour savoir si l'on a déjà rencontré ce  $lp$ . Deux cas se présentent alors. Si  $lp$  est absent de la liste, on crée à la bonne place un nœud. Si  $lp$  est déjà présent dans la liste, au lieu de rajouter un nœud, on utilise le nœud possédant ce  $lp$  pour obtenir une nouvelle paire  $(A, Q)$  selon la méthode énoncée plus haut et ajoute ses composantes aux tableaux `Ans`, `Qns` et `exp_vects`. La fonction `insert_or_elim_lp` se charge de cela.

### 3 Résultats expérimentaux

Les fonctions dont nous nous sommes servi pour tester le programme se trouvent dans le fichier `test.c`. Nous avons effectué nos tests sur des entiers générés par la fonction `rand_N` ; ces entiers sont de la forme  $N = pq$  avec  $p$  et  $q$  des premiers aléatoires et de taille semblable.

#### 3.1 Choix de la taille de la base de factorisation

Nous avons cherché à déterminer expérimentalement, selon la taille de l'entier  $N$  à factoriser, une bonne taille pour la base de factorisation lorsque la *large prime variation* et la *early abort strategy* sont utilisées. Pour une taille d'entier fixée, nous avons inscrit dans un fichier le temps que met le programme pour plusieurs tailles de bases de factorisation. Nous donnons ci-dessous des tailles appropriées (il ne s'agit que d'un ordre de grandeur, la taille optimale varie d'un entier à l'autre). Ce sont elles qui sont renvoyées par la fonction `choose_s_fb`.

nombre de bits de $N$	taille de la base de factorisation
70	40
80	90
90	120
100	170
110	260
120	280
130	370
140	450

### 3.2 Factorisation de $F_7$

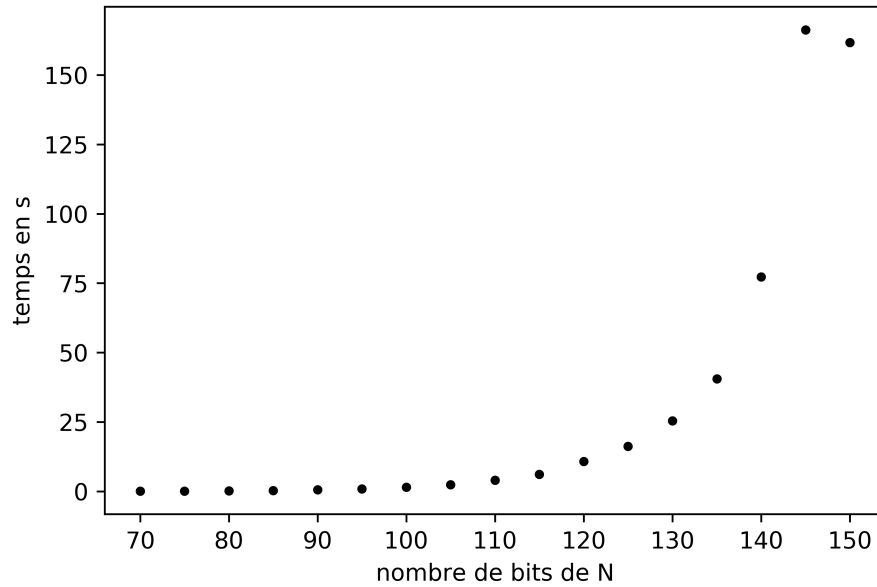
Notre programme permet de factoriser le septième nombre de Fermat  $F_7 = 2^{128} + 1$ . La fonction `fact_F7` prend en entrée des booléens indiquant si la *large\_prime variation* (*lp*) et la *early abort strategy* (*eas*) doivent être utilisées et lance cette factorisation. Avec le paramètre `k` retourné par la fonction `choose_k` — soit  $k = 38$  — et les paramètres fixés `eas_cut`= 50 et `eas_coeff`= 1000000, nous obtenons les résultats suivants :

variantes	s_fb	nb_AQp	last_n	temps de calcul
<i>lp</i> et <i>eas</i>	370	385	1338269	30 s
<i>lp</i>	370	385	1013314	100 s
<i>eas</i>	950	965	1864721	61 s
sans variante	950	965	1205664	317 s

`last_n` est l'indice de la dernière paire  $(A, Q)$  calculée.

### 3.3 Temps de calcul (avec les deux variantes)

Ce graphique représente le temps moyen mis par le programme (sur une cinquantaine de tests) en fonction du nombre de bits de l'entier que l'on souhaite factoriser. La *large prime variation* et la *early abort strategy* ont été utilisées et les paramètres ont été choisis par les fonctions `choose_s_fb` et `choose_k`.



Concernant le choix du paramètre  $k$ , utiliser la valeur choisie par la fonction `choose_k` plutôt que  $k = 1$  n'améliore pas en moyenne les performances du programme.

## Références

- [Coh93] Henri COHEN. *A course in computational algebraic number theory*. Springer, 1993. ISBN : 9780387556406.
- [Gui10] Philippe GUILLOT. *Courbes elliptiques, une présentation élémentaire pour la cryptographie*. Lavoisier, 2010, p. 141-151. ISBN : 978-2-7462-2392-9.
- [Lau] Niels LAURITZEN. *Continued fractions and factoring*. URL : <https://docplayer.net/8973779-Continued-fractions-and-factoring-niels-lauritzen.html>.
- [MB75] Michael A. MORRISON et John BRILLHART. "A Method of Factoring and the Factorization of  $F_7$ ". In : *Mathematics of Computation* 29.129 (1975), p. 183-205. ISSN : 00255718, 10886842. URL : <http://www.jstor.org/stable/2005475>.
- [Pom96] Carl POMERANCE. "A tale of two sieves". In : *Notices Amer. math. soc.* 43 (1996), p. 1473-1485. URL : <http://citeseerx.ist.psu.edu/viewdoc/download;jsessionid=A7646A41BA8D226F9DEB4DF399A6411B?doi=10.1.1.80.9198&rep=rep1&type=pdf>.

- [PW83] Carl POMERANCE et Samuel S. WAGSTAFF JR. “Implementation of the continued fraction integer factoring algorithm”. In : *Congressus Numerantium* 37 (1983), p. 99-118. ISSN : 0384–9864.
- [Wik19] Contributeurs WIKIVERSITÉ. “Introduction à la théorie des nombres/Approximation diophantienne et fractions continues”. In : (avr. 2019). URL : [https://fr.wikiversity.org/wiki/Introduction\\_%C3%A0\\_la\\_th%C3%A9orie\\_des\\_nombres/Approximation\\_diophantienne\\_et\\_fractions\\_continues](https://fr.wikiversity.org/wiki/Introduction_%C3%A0_la_th%C3%A9orie_des_nombres/Approximation_diophantienne_et_fractions_continues).